

Beugung am Spalt

Maximilian Sackel
Maximilian.sackel@gmx.de

Philip Schäfers
phil.schaefers@gmail.com

Durchführung: 19.04.2016

Abgabe: 26.04.2016

Inhaltsverzeichnis

1	Theoretische Grundlage	3
1.1	Fehlerrechnung	4
1.1.1	Mittelwert	4
1.1.2	Gauß'sche Fehlerfortpflanzung	5
1.1.3	Lineare Regression	5
2	Durchführung und Aufbau	5
3	Auswertung	6
4	Diskussion	8

1 Theoretische Grundlage

Zur Beugung von Licht kommt es, wenn die Abmessung des Hinderniss in der Größenordnung der Wellenlänge λ liegt. Dabei kommt es zur Abweichung des Lichtes von der Geometrischen Optik. Für den Versuch wird angenommen das der Schirm eine weite Entfernung zur Blende aufweist, so dass die Fraunhofer-Näherung genutzt werden kann. In Abbildung 1 ist zu sehen das das Licht jeweils um den Winkel ϕ gebeugt wird. Anhand des Huygensschen Prinzip lässt sich bei hinreichend großer Intensität die Interfe-

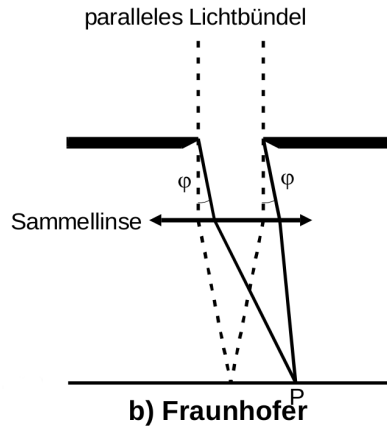


Abbildung 1: Fraunhofer Beugung

renzbeschreibung beschreiben. Es besagt einerseits, dass jeder Punkt einer Wellenfront Ausgangspunkt einer neuen Kugelwelle ist, als auch dass die Einhüllende der Elementarwellen die neue Wellenfront ergibt. Um eine Aussage in einem Punkt zu machen, müssen aufgrund des Huygensschen Prinzip alle Wellen die in diesem Punkt ankommen überlagert werden. Der einfacherheit halber wird zunächst ein Doppelspalt betrachtet und anschließend auf andere Querschnitte geschlossen. Beim Einzelspalt müssen dafür die einzelnen Strahlennüdel unter dem entsprechenden Ablenkungswinkel ϕ summiert werden. Es wird eine ebene Welle mit der Feldstärke

$$A(z, t) = A_0 \exp \left(i \left(\omega t - \frac{2\pi z}{\lambda} \right) \right) \quad (1)$$

angenommen die durch den Spalt mit Breite b einfällt. Der Phasenunterschied zweier Strahlen mit dem Abstand x beträgt:

$$\delta = \frac{2\pi x \sin(\phi)}{\lambda} \quad (2)$$

Durch Integration über alle Strahlen die um den Winkel ϕ abgelenkt sind ergibt sich:

$$B(z, t, \phi) = A_0 \exp \left(i \left(\omega t - \frac{2\pi z}{\lambda} \right) \right) \cdot \exp \left(\frac{\pi b \sin(\phi)}{\lambda} \right) \quad (3)$$

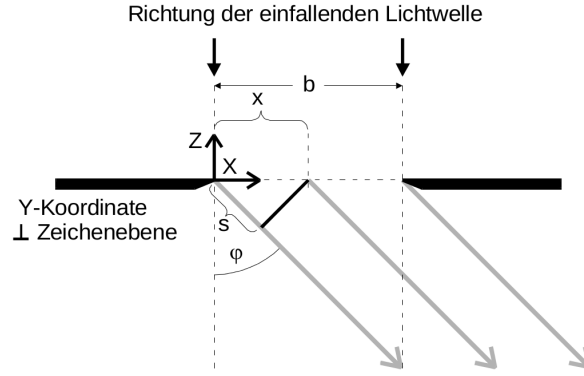


Abbildung 2: Phasenbeziehung zwischen zwei Teilstrahlen

Für die experimentelle Auswertung müssen die Exponentialfunktionen nicht weiter betrachtet werden, da diese ausschließlich Informationen über die Phase der Funktion enthalten. Da aufgrund der hohen Lichtfrequenz eine Messung der Amplitude nicht möglich ist muss die Intensitätsverteilung ermittelt werden.

$$I(\phi) \propto B(\phi)^2 = A_0^2 b^2 \left(\frac{\lambda}{\pi b \sin \phi} \right)^2 \sin^2 \left(\frac{\pi b \sin \phi}{\lambda} \right) \quad (4)$$

Die Intensitätsverteilung des $I(\phi)$ des Doppelspalts beruht darauf das im Abstand s ein zweiter Einzelspalt der Breite b überlagert wird.

$$I(\phi) \propto B(\phi)^2 = 4 \cos^2 \left(\frac{\pi s \sin(\phi)}{\lambda} \right) \left(\frac{\lambda}{\pi b \sin \phi} \right)^2 \sin^2 \left(\frac{\pi b \sin \phi}{\lambda} \right) \quad (5)$$

1.1 Fehlerrechnung

Sämtliche Fehlerrechnungen werden mit Hilfe von Python 3.4.3 durchgeführt.

1.1.1 Mittelwert

Der Mittelwert einer Messreihe x_1, \dots, x_n lässt sich durch die Formel

$$\bar{x} = \frac{1}{N} \sum_{k=1}^N x_k \quad (6)$$

berechnen. Die Standardabweichung des Mittelwertes beträgt

$$\Delta \bar{x} = \sqrt{\frac{1}{N(N-1)} \sum_{k=1}^N (x_k - \bar{x})^2} \quad (7)$$

1.1.2 Gauß'sche Fehlerfortpflanzung

Wenn x_1, \dots, x_n fehlerbehaftete Messgrößen im weiteren Verlauf benutzt werden, wird der neue Fehler Δf mit Hilfe der Gaußschen Fehlerfortpflanzung angegeben.

$$\Delta f = \sqrt{\sum_{k=1}^N \left(\frac{\partial f}{\partial x_k} \right)^2 \cdot (\Delta x_k)^2} \quad (8)$$

1.1.3 Lineare Regression

Die Steigung und y-Achsenabschnitt einer Ausgleichsgeraden werden gegebenenfalls mittels Linearen Regression berechnet.

$$y = m \cdot x + b \quad (9)$$

$$m = \frac{\overline{xy} - \bar{x}\bar{y}}{\overline{x^2} - \bar{x}^2} \quad (10)$$

$$b = \frac{\overline{x^2\bar{y}} - \bar{x}\bar{xy}}{\overline{x^2} - \bar{x}^2} \quad (11)$$

2 Durchführung und Aufbau

Als erstes wird die Strecke L zwischen Photoelektrode und Spalt, wie in Abbildung 3 zu sehen ist, vermessen. Anschließend wird einmal der Dunkelstrom I_A der Photodiode

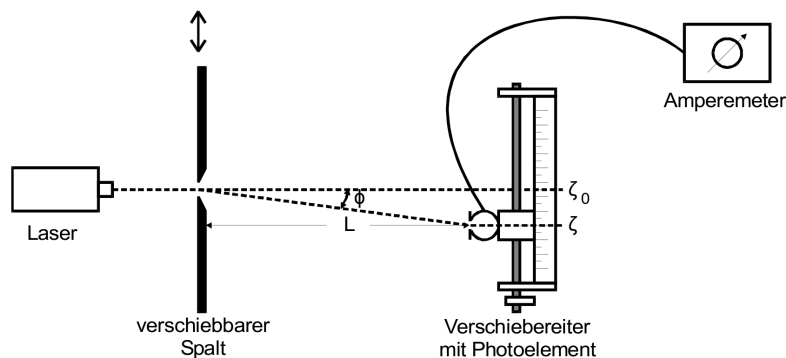


Abbildung 3: Versuchsaufbau

gemessen. Dannach kann nach einspannen des Spaltes in die dafür vorgesehene Messapparatur der Laser eingeschaltet werden und das Beugungsbild vermessen werden. Dazu wird zunächst einmal das Hauptmaxima ermittelt und von diesem ausgehend zu beiden Seiten 25 Messwerte genommen. Dies geschieht indem die Fotodiode jeweils um 1mm auf der Schiene vom Hauptmaximum entfernt wird und der Fotostrom I_A ausgemessen wird. Nachdem das Beugungsbild vermessen ist, wird anschließend die Spaltbreite an einem

Mikroskop vermessen. Dafür wird zunächst der Maßstab anhand eines geeigneten Referenzobjekt ermittelt und mit Hilfe diesem, die Spaltbreite b des Spalt ausgerechnet. Der Versuch ist für alle 3 Einzelspalte als auch einem Doppelspalt durchzuführen.

3 Auswertung

Der zu Beginn ausgemessene Abstand L von dem Spalt zu der Messdiode und die Wellenlänge des verwendeten Lasers lauten:

$$\begin{aligned} L &= 0.93 \text{ m} \\ \lambda &= 633 \cdot 10^{-9} \text{ m} \end{aligned}$$

Alle Messwerte zur Bestimmung der Spaltgrößen b , über das Interferenzmuster, befinden sich in Tabelle 1. Der gemessene Dunkelstrom beträgt,

$$I_D = 0.1 \cdot 10^{-9} \text{ A}$$

und wird für alle Messungen als konstant angesehen. Mithilfe der Messwerte und Gleichung (4) für die Einzelspalte und mit Gleichung (5) für den Doppelspalt wird eine Ausgleichsrechnung durchgeführt. Der Winkel wird als $\Phi \approx \frac{x}{L}$ angenommen. Da in beiden Gleichungen durch $\sin(\frac{x}{L})$ geteilt wird, muss der Wert $x = 0$ aus der Ausgleichsrechnung entfernt werden.

Abstand	Einzelspalt mit			Doppelspalt mit
a / mm	b = 0.075 mm I / A	b = 0.15 mm I / A	b = 0.4 mm I / A	b = 0.1 mm, g = 0.4 mm I / A
-25	0.00062	0.00175	0.0065	0.00240
-24	0.00058	0.00170	0.0072	0.00250
-23	0.00046	0.00125	0.0060	0.00200
-22	0.00032	0.00120	0.0032	0.00150
-21	0.00028	0.00220	0.0046	0.00150
-20	0.00038	0.00200	0.0100	0.00200
-19	0.00092	0.00260	0.0135	0.00240
-18	0.00130	0.00420	0.0105	0.00300
-17	0.00180	0.00460	0.0150	0.00240
-16	0.00225	0.00320	0.0125	0.00175
-15	0.00225	0.00300	0.0180	0.00100
-14	0.00175	0.00600	0.0185	0.00180
-13	0.00110	0.00100	0.0125	0.00500
-12	0.00060	0.00750	0.0220	0.01000
-11	0.00075	0.00100	0.0240	0.01500
-10	0.00200	0.00800	0.0300	0.01400
-9	0.00600	0.00500	0.0420	0.00800
-8	0.01250	0.01000	0.0400	0.02500
-7	0.02200	0.02600	0.0500	0.02500
-6	0.03600	0.03600	0.1100	0.16000
-5	0.05400	0.02000	0.0800	0.50000
-4	0.07200	0.01200	0.2000	1.00000
-3	0.08800	0.10000	0.4900	2.00000
-2	0.09000	0.25000	0.5000	2.60000
-1	0.10000	0.75000	8.0000	3.80000
0	0.12500	1.20000	17.500	5.10000
1	0.10000	1.10000	4.6000	5.00000
2	0.10000	0.80000	0.5000	4.00000
3	0.09000	0.50000	0.2600	2.60000
4	0.07400	0.18000	0.2600	1.80000
5	0.05600	0.03500	0.0750	1.15000
6	0.04000	0.01000	0.0900	0.16000
7	0.02400	0.03600	0.0750	0.01800
8	0.01200	0.04200	0.0400	0.00640
9	0.00750	0.02400	0.0680	0.00880
10	0.00300	0.00900	0.0340	0.01300
11	0.00150	0.01000	0.0300	0.01700
12	0.00140	0.01500	0.0280	0.01800
13	0.00225	0.01500	0.0280	0.01500
14	0.00260	0.00800	0.0200	0.00750
15	0.00340	0.00300	0.0220	0.00380
16	0.00340	0.00320	0.0090	0.00260
17	0.00280	0.00450	0.0120	0.00260
18	0.00200	0.00380	0.0160	0.00360
19	0.00175	0.00240	0.0080	0.00440
20	0.00125	0.00200	0.0074	0.00400
21	0.00100	0.00200	0.0064	0.00280
22	0.00075	0.00160	0.0064	0.00200
23	0.00090	0.00120	0.0060	0.00180
24	0.00100	0.00140	0.0070	0.00220
25	0.00100	0.00180	0.0065	0.00250

Tabelle 1: Messwerte zur Bestimmung der Spaltbreite b .

4 Diskussion